

Localização II

Filtro de Kalman
Monte Carlo

1

Filtro de Kalman

- Uma das primeiras implementações práticas do filtro de Bayes (1960).
- Hipóteses para utilização do filtro:
 - Erro médio de cada variável igual a zero;
 - Erro de cada variável independente;
 - Modelo linear de evolução do sistema;
 - Relacionamento linear entre variáveis de estado e variáveis medidas.
- Se as hipóteses acima não forem cumpridas, a optimalidade não é assegurada.

2

Filtro de Kalman

- Estima o estado x de um processo controlado em tempo discreto que é governado por uma equação estocástica

$$x_t = A_t x_{t-1} + B_t u_t + \varepsilon_t$$

- Com medição

$$z_t = C_t x_t + \delta_t$$

3

Componentes do filtro de Kalman

- A_t Matriz (nxn) que descreve a evolução do estado de t a $t-1$ sem ações de controle ou ruído.
- B_t Matriz (nxl) que descreve como as ações de controle u_t mudam o estado de $t-1$ para t .
- C_t Matriz (kxn) que mapeia o estado x_t em uma observação z_t .
- ε_t Variáveis aleatórias que representam os ruídos de processo e de medição, assumidos independentes e com distribuição normal com covariância R_t e Q_t respectivamente.
- δ_t

4

Filtro de Kalman: dinâmica

- A dinâmica do sistema é uma função linear do estado e das ações de controle, mais o ruído do sistema:

$$x_t = A_t x_{t-1} + B_t u_t + \varepsilon_t$$

$$p(x_t | u_t, x_{t-1}) = N(x_t; A_t x_{t-1} + B_t u_t, R_t)$$

$$\begin{aligned} \overline{bel}(x_t) &= \int p(x_t | u_t, x_{t-1}) \overline{bel}(x_{t-1}) dx_{t-1} \\ &\Downarrow \qquad \qquad \qquad \Downarrow \\ &\sim N(x_t; A_t x_{t-1} + B_t u_t, R_t) \quad \sim N(x_{t-1}; \overline{\mu}_{t-1}, \overline{\Sigma}_{t-1}) \end{aligned}$$

Filtro de Kalman: observações

- As observações são funções lineares do estado, mais o ruído associado:

$$z_t = C_t x_t + \delta_t$$

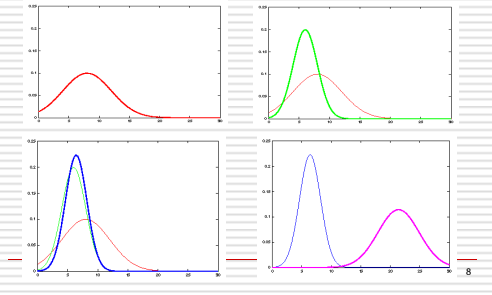
$$p(z_t | x_t) = N(z_t; C_t x_t, Q_t)$$

$$\begin{aligned} \overline{bel}(x_t) &= \eta \int p(z_t | x_t) \overline{bel}(x_t) \\ &\Downarrow \qquad \qquad \qquad \Downarrow \\ &\sim N(x_t; \overline{\mu}_t, \overline{\Sigma}_t) \end{aligned}$$

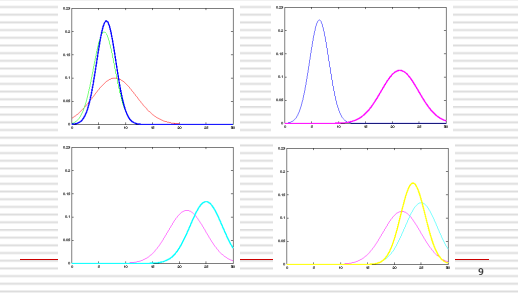
Filtro de Kalman

1. Algoritmo **Kalman_filter**($\mu_{t-1}, \Sigma_{t-1}, u_t, z_t$):
2. **Predição:**
3. $\bar{\mu}_t = A_t \mu_{t-1} + B_t u_t$
4. $\bar{\Sigma}_t = A_t \Sigma_{t-1} A_t^T + R_t$
5. **Correção:**
6. $K_t = \bar{\Sigma}_t C_t^T (C_t \bar{\Sigma}_t C_t^T + Q_t)^{-1}$
7. $\mu_t = \bar{\mu}_t + K_t (z_t - C_t \bar{\mu}_t)$
8. $\Sigma_t = (I - K_t C_t) \bar{\Sigma}_t$
9. **Return** μ_t, Σ_t

Ciclo correção-predição

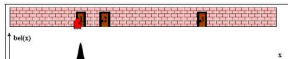


Ciclo correção-predição

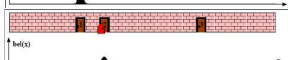


Ciclo correção-predição

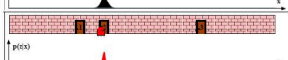
Estimação do estado inicial



Predição:
associação à
ação de controle



Atualização:
incorporação da
medição



Predição:
associação à
ação de controle



Filtro de Kalman na robótica

- Altamente Eficiente: complexidade polinomial com as dimensões de medição k e de estado n : $O(k^{2.376} + n^2)$
- Ótimo para sistemas lineares Gaussianos
- Maioria dos sistemas robóticos é não-linear!

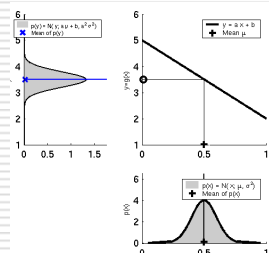
Não linearidade

- A maioria dos problemas de robótica envolve funções não-lineares!

$$x_t = g(u_t, x_{t-1})$$

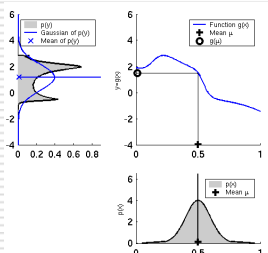
$$z_t = h(x_t)$$

Não linearidade



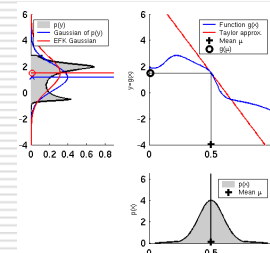
13

Não linearidade



14

Não linearidade



15

Linearização do KF: Série de Taylor – primeira ordem

□ Predição:

$$g(u_t, x_{t-1}) \approx g(u_t, \mu_{t-1}) + \frac{\partial g(u_t, \mu_{t-1})}{\partial x_{t-1}} (x_{t-1} - \mu_{t-1})$$

$$g(u_t, x_{t-1}) \approx g(u_t, \mu_{t-1}) + G_t (x_{t-1} - \mu_{t-1})$$

□ Correção:

$$h(x_t) \approx h(\bar{\mu}_t) + \frac{\partial h(\bar{\mu}_t)}{\partial x_t} (x_t - \bar{\mu}_t)$$

$$h(x_t) \approx h(\bar{\mu}_t) + H_t (x_t - \bar{\mu}_t)$$

16

Algoritmo: filtro de Kalman estendido

1. Extended_Kalman_filter($\mu_{t-1}, \Sigma_{t-1}, u_t, z_t$):

2. Prediction:

$$\bar{\mu}_t = g(u_t, \mu_{t-1})$$

$$\bar{\Sigma}_t = G_t \Sigma_{t-1} G_t^T + R_t$$

3. Correction:

$$\bar{\mu}_t = A_t \mu_{t-1} + B_t u_t$$

$$\bar{\Sigma}_t = A_t \Sigma_{t-1} A_t^T + R_t$$

4. Correction:

$$K_t = \bar{\Sigma}_t H_t^T (H_t \bar{\Sigma}_t H_t^T + Q_t)^{-1}$$

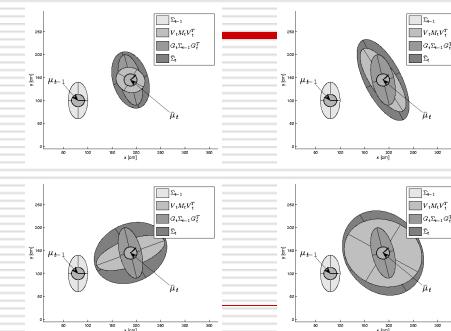
$$\mu_t = \bar{\mu}_t + K_t (z_t - h(\bar{\mu}_t))$$

$$\Sigma_t = (I - K_t C_t) \bar{\Sigma}_t$$

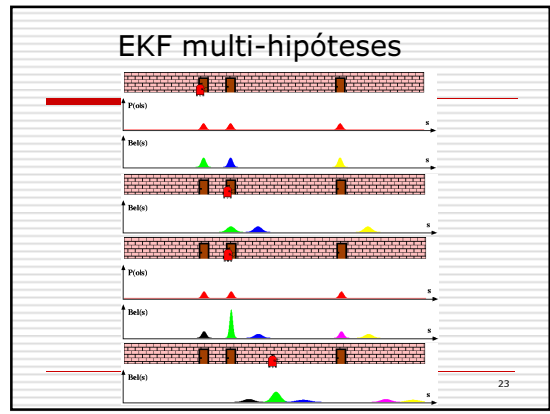
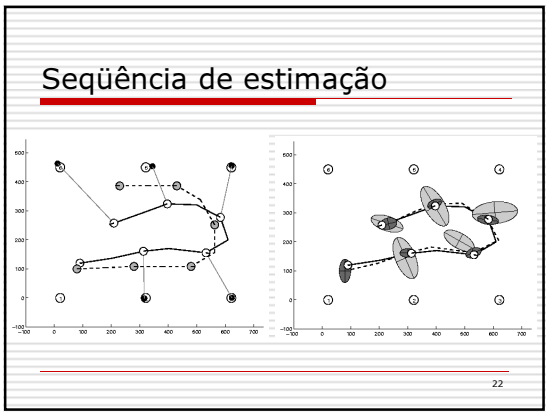
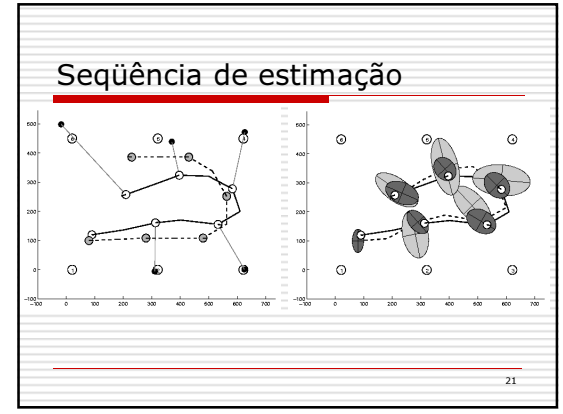
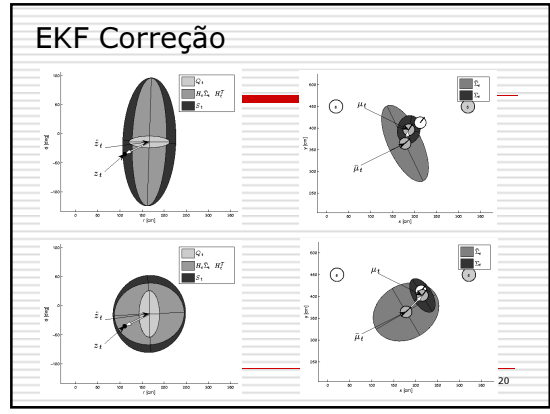
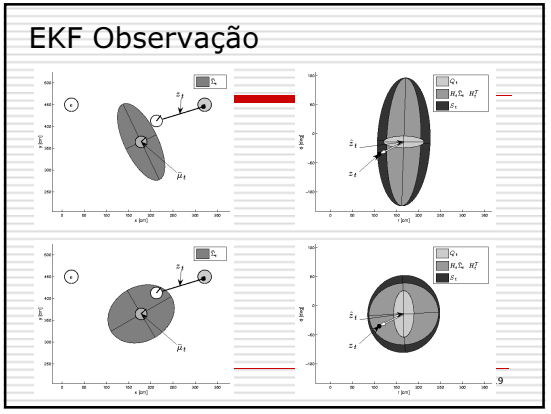
5. Return μ_t, Σ_t

$$H_t = \frac{\partial h(\bar{\mu}_t)}{\partial x_t} \quad G_t = \frac{\partial g(u_t, \mu_{t-1})}{\partial x_{t-1}}$$

EKF Predição



18



Filtro de Kalman estendido na robótica

- **Altamente Eficiente:** complexidade polinomial com as dimensões de medição k e de estado n : $O(k^{2.376} + n^2)$
- **Não é ótimo.**
- Pode divergir se a não-linearidade **for forte!**
- Funciona **surpreendentemente bem**, mesmo quando as **suposições básicas são violadas!**

24

Localização – resumo

	EKF	MHT	Coarse (topological) grid	fine (metric) grid	MCL
Measurements	landmarks	landmarks	landmarks	raw measurements	raw measurements
Measurement noise	Gaussian	Gaussian	any	any	any
Posterior	Gaussian	mixture of Gaussians	histogram	histogram	particles
Efficiency (memory)	++	++	+	-	+
Efficiency (time)	++	+	+	-	+
Ease of implementation	+	-	+	-	++
Resolution	++	++	-	+	+
Robustness	-	+	+	++	++
Global localization	no	no	yes	yes	yes